

# V-271 静的破碎剤によるコンクリートの破碎に関する研究 — 膨張圧測定と破碎時間の推定法 —

九州工業大学 正員 出光 隆  
〃 学生員 ○竹田 宣典

## 1. まえがき

静的破碎剤を用いた解体工法は、従来のダイナマイト等による工法に比べて、振動、騒音、粉じん、破碎片の飛散などがなく、安全かつ無公害な工法として注目を集めている。しかしながら、破碎のメカニズムが明らかとなっていないため、不経済がつ時間の無駄となっていることが多い。そこで著者らは、破碎時間の推定法およびより効果的な静的破碎剤の充填法の2点について実験的研究を実施した。

## 2. 実験概要

円筒コンクリート(内径 $r_1$ 、外径 $r_2$ )の内孔に破碎剤を充填し、外径内径比 $K (= r_2/r_1)$ の値を変えて、それぞれ膨張圧 $P$ を測定した。膨張圧の測定は、下記の3方法によつて行つた。

(a) 外管法：鋼管に破碎剤スライサーを充填し、钢管のひずみにより厚肉円筒理論を用いて測定する方法。

(b) 内管法：钢管を直接、破碎剤スライサー充填孔に挿入し、钢管のひずみにより厚肉円筒理論を用いて測定する方法。図-1に(a), (b)の測定法を示す。

(c) 圧力変換器による方法

破碎剤の水・破碎剤比は25%，被破碎体の孔の内径は16mmとし、20°Cの恒温室で行つた。

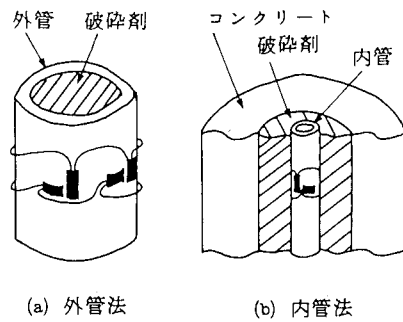
## 3. 破碎時間の推定法

図-2は、膨張圧の経時変化を示したものである。コンクリートにひびわれが発生すると、膨張圧の伸びが小さくなるが、外管法では、ひびわれの影響がない場合の膨張圧を測定しているため、内管法による実際の膨張圧に補正する必要がある。

コンクリートを弾性体と仮定し、厚肉円筒理論を用いると、破碎時の最大引張応力 $\sigma_{\theta \max}$ および引張応力の平均値 $\bar{\sigma}_{\theta}$ は、破碎時の膨張圧を $P_u$ とすると、

$$\sigma_{\theta \max} = \frac{K^2 + 1}{K^2 - 1} \cdot P_u \quad \text{--- ①}$$

$$\bar{\sigma}_{\theta} = \frac{\int_{r_1}^{r_2} \sigma_{\theta} dr}{r_2 - r_1} = \frac{1}{K - 1} P_u \quad \text{--- ②}$$



(a) 外管法

(b) 内管法

図-1 膨張圧測定法

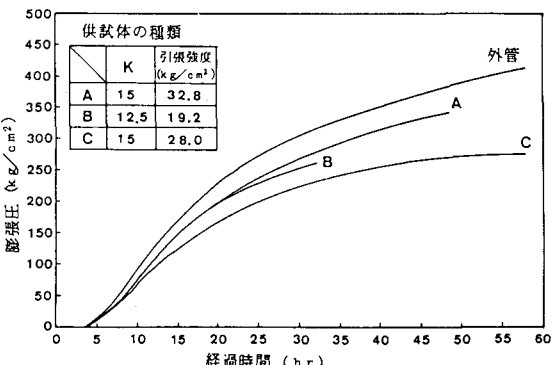


図-2 膨張圧の経時変化

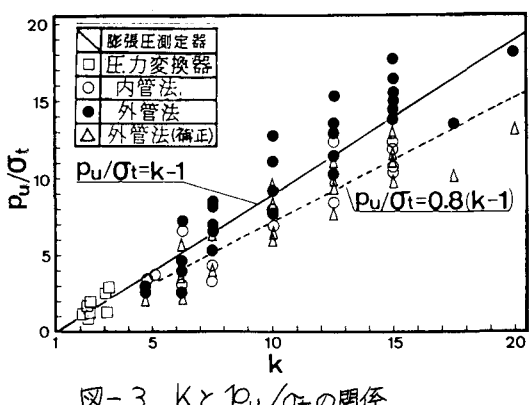


図-3 K と  $P_u/t$  の関係

て表わされる。実験の結果から得られた破碎時膨張圧  $P_u$  より  $\sigma_{\text{max}}$ ,  $\bar{\sigma}_0$  を求めると、 $\sigma_{\text{max}}$  はコンクリートの引張強度  $\sigma_t$  を大きく上まわっている。一方  $\bar{\sigma}_0$  については、 $\bar{\sigma}_0/\sigma_t$  の値をみとし、その値を求めてみると、かなりバラツキはみられるが、

$$K < 5 \text{ のとき } \mu = 1.0 \quad \cdots \text{③}$$

$$K > 5 \text{ のとき } \mu = 0.8$$

とみなせる。K < 5 の場合、平均引張応力がコンクリートの引張強度に達すると、ひびわれは瞬時にひいるが、K > 5 の場合は、ひびわれが徐々に内部から進展していく、膨張圧の伸びが減少する。

破碎時の膨張圧  $P_u$  は、式②, ③より

$$P_u = \mu \cdot (K-1) \cdot \sigma_t \quad \cdots \text{④}$$

ただし K < 5 のとき  $\mu = 1.0$ , K > 5 のとき  $\mu = 0.8$  によって推定できる。図-3 に K と  $P_u/\sigma_t$  の関係の実験結果を示す。K = 6 ~ 7 付近での  $P_u/\sigma_t$  の値は小さくなっている。これは、K の値が 5 前後で、破碎の進行が異ることに基づいていると考えられる。

被破碎体の K と  $\sigma_t$  がわかれば、破碎時膨張圧が算出され、図-2 の膨張圧の経時曲線より破碎時間が推定できる。図-4 に引張強度をパラメータとしたときの K と破碎時間の関係を示す。表-1 は、破碎時膨張圧と破碎時間を式④と図-4 を用いて推定した値と、実験により得られた測定値との比較を示したものである。同表より計算値と実測値はよく一致していることが認められる。

#### 4. コンクリートカッター溝に破碎剤を充填した場合

図-5 に被破碎体の形状を示す。コンクリートの引張強度は  $30 \text{ kg/cm}^2$  である。幅  $9.5 \text{ mm}$ , 深さ  $h$  のコンクリートカッターによる溝を開け破碎剤を充填する。深さ  $h$  を変えた場合の破壊時間(ひびわれ貫通時間)を表-2 に示す。溝深さは供試体高さの  $1/4$  以上であれば、破壊時間に大きな差はなかった。 $h = 100 \text{ mm}$  (溝深さ / 供試体高さ =  $1/4$ ) の場合、破壊時間は 9 時間であった。この溝に充填した量と同量の破碎剤を用いて、同じ被破碎体にボーリング孔を開けて破壊させる場合の破壊時間を前節(3.) の方法で推定してみる。

$K = 11.5$  ( $r_1 = 1.94 \text{ cm}$ ,  $r_2 = 20 \text{ cm}$ ),  $\sigma_t = 30 \text{ kg/cm}^2$  であるから、図-4 に破線で示すように、破壊時間は約 37 時間すなわち、溝の場合の 4 倍近くになることがわかる。

溝を開けることと、孔を開けることとの作業性の差も考慮しなければならないが、いづれの方法もとれる場合では、コンクリートカッター溝に充填する方がより効果的な破碎が可能と考えられる。

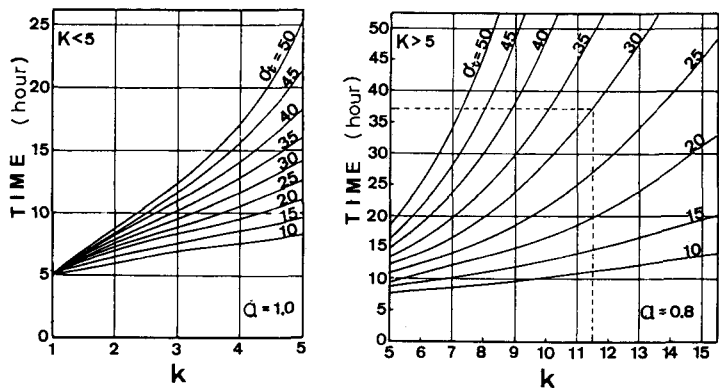


図-4 K と破碎時間の関係

表-1 版供試体における破壊時間の比較

比較箇所	K	破壊時膨張圧( $\text{kg}/\text{cm}^2$ )		破壊時間(hour)	
		計算値	測定値	計算値	測定値
A	自由端	1	—	—	—
	孔間	5.91	104	—	12.6 12.8
B	自由端	1.88	23	57	5.6 8.5
	孔間	5.63	99	—	12.2 13.5
C	自由端	3.13	57	57	8 8.5
	孔間	5.22	90	—	11.5 12
D	自由端	4.69	98	71	10.4 9.5
	孔間	4.69	98	88	10.4 10.5
E	自由端	6.25	112	90	13.3 11
	孔間	4.16	84	—	9.6 11.5
F	自由端	7.5	118	90	13.9 11
	孔間	3.75	73	90	8.9 11

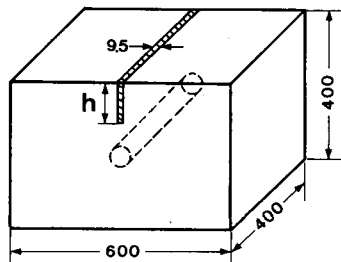


図-5 被破碎体の形状

表-2 h による破壊時間の変化

h(mm)	50	100	150	200
破壊時間(hour)	16	9	7	6